

Riadenie nelineárnych systémov

Metóda harmonickej rovnováhy II.

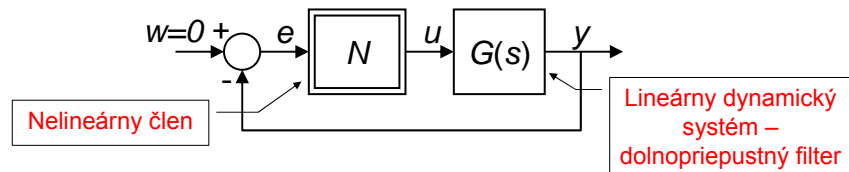
doc.Ing. Ján Kardoš, PhD.
ÚRK, D-410

Metóda harmonickej rovnováhy

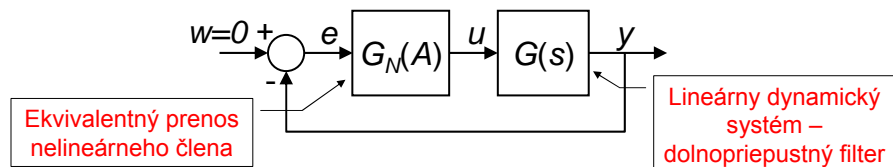
- Metóda ekvivalentných prenosov (metóda harmonickej linearizácie): **linearizácia** nelineárneho systému, ktorým sa šíri **harmonický signál**.
- **Frekvenčná metóda** analýzy nelineárnych systémov, určenie **počtu a stability limitných cyklov**.
- Štruktúra nelineárneho regulačného obvodu: **statický nelineárny člen N** (typická nelinearita, symetrická nepárna prevodová charakteristika) v sérii s **lineárnym dynamickým systémom $G(s)$** (dolnopriepustný filter, dobré filtračné vlastnosti).
- Náhrada nelinearity lineárnym členom, ktorý prenáša len **prvú harmonickú – ekvivalentný prenos $G_M(A)$** .

Princíp metódy harmonickej rovnováhy

- Nelineárny regulačný obvod



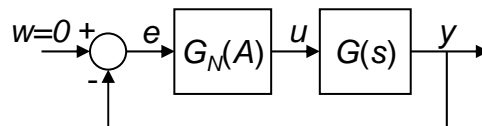
- Náhradný lineárny obvod (linearizácia pre signál prvej harmonickej)



3

Princíp metódy harmonickej rovnováhy

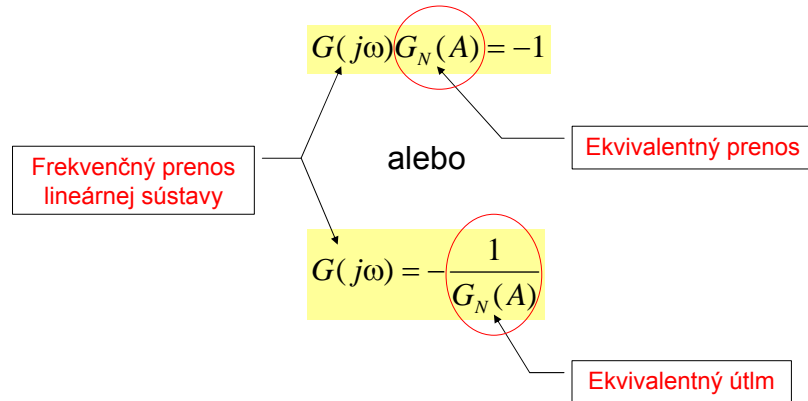
- Aby sa v obvode udržali autooscilácie prvej harmonickej, musí sa **fáza** výstupného signálu y prepočítaná na vstup nelinearity N resp. $G_M(A)$ **zhodovať** s fázou signálu e .
- Aby sa zachovala amplitúda oscilácií prvej harmonickej, musí byť **zosilnenie** v otvorenej slučke **jednotkové**.
- Záporná spätná väzba** otáča fázou signálu y o 180° .
- Sériové zapojenie členov $G_M(A)$ a $G(s)$ teda musí **otáčať fázou signálu o ďalších 180°** a musí mať **zisk 1**.



4

Princíp metódy harmonickej rovnováhy

- Podmienka vzniku ustálených kmitov (vo frekvenčnej oblasti)



5

Princíp metódy harmonickej rovnováhy

- Analytické riešenie podmienky vzniku ustálených kmitov

$$G(j\omega)G_N(A) = -1$$

alebo

- Získame **dve rovnice** na určenie dvoch neznámych parametrov prvej harmonickej: **amplitúdy** A a **krhovej frekvencie** ω

$$\operatorname{Re}\{G(j\omega)G_N(A)\} = -1$$

$$\operatorname{Im}\{G(j\omega)G_N(A)\} = 0$$

$$A > 0, \quad \omega > 0; \quad A, \omega \in R$$

Podmienka stability oscilácií

$$\frac{\partial \operatorname{Re}}{\partial A} \frac{\partial \operatorname{Im}}{\partial \omega} - \frac{\partial \operatorname{Re}}{\partial \omega} \frac{\partial \operatorname{Im}}{\partial A} > 0$$

6

Princíp metódy harmonickej rovnováhy

- **Analytické riešenie** podmienky vzniku ustálených kmitov

$$G(j\omega) = -\frac{1}{G_N(A)}$$

alebo

$$\operatorname{Re}\{G(j\omega)\} = \operatorname{Re}\left\{-\frac{1}{G_N(A)}\right\}$$

$$\operatorname{Im}\{G(j\omega)\} = \operatorname{Im}\left\{-\frac{1}{G_N(A)}\right\}$$

$$G_N(A) = \frac{a_1}{A}$$

jednoznačná
nelinearita

$$\operatorname{Re}\left\{-\frac{1}{G_N(A)}\right\} = -\frac{A}{a_1}$$

$$\operatorname{Im}\left\{-\frac{1}{G_N(A)}\right\} = 0$$

$$G_N(A) = \frac{a_1 + jb_1}{A}$$

nejednoznačná
nelinearita

$$\operatorname{Re}\left\{-\frac{1}{G_N(A)}\right\} = -A \frac{a_1}{a_1^2 + b_1^2}$$

$$\operatorname{Im}\left\{-\frac{1}{G_N(A)}\right\} = A \frac{b_1}{a_1^2 + b_1^2}$$

7

Princíp metódy harmonickej rovnováhy

- **Analytické riešenie** podmienky vzniku ustálených kmitov

$$G(j\omega)G_N(A) = -1$$

alebo

vo fázorovom tvare

$$G(j\omega) = |G(j\omega)|e^{j\varphi(\omega)}$$

$$G_N(A) = |G_N(A)|e^{j\gamma(A)}$$

$$|G(j\omega)| = \sqrt{\operatorname{Re}^2\{G(j\omega)\} + \operatorname{Im}^2\{G(j\omega)\}} \quad \varphi(\omega) = \arctan\left(\frac{\operatorname{Im}\{G(j\omega)\}}{\operatorname{Re}\{G(j\omega)\}}\right)$$

$$|G_N(A)| = \sqrt{\operatorname{Re}^2\{G_N(A)\} + \operatorname{Im}^2\{G_N(A)\}} \quad \gamma(A) = \arctan\left(\frac{\operatorname{Im}\{G_N(A)\}}{\operatorname{Re}\{G_N(A)\}}\right)$$

- Podmienka amplitúdovej rovnováhy $|G(j\omega)||G_N(A)| = 1$
- Podmienka fázovej rovnováhy $\varphi(\omega) + \gamma(A) = \pi$

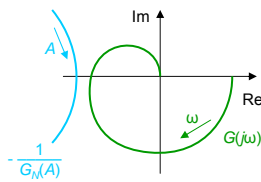
8

Princíp metódy harmonickej rovnováhy

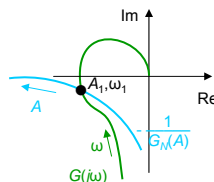
- **Grafické riešenie** podmienky vzniku ustálených kmitov

Priesečník/-y frekvenčnej charakteristiky $G(j\omega)$ a záporne vzatého ekvivalentného útlmu $1/G_N(A)$ v **komplexnej rovine**

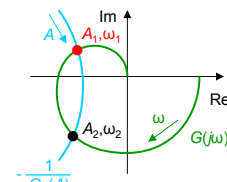
$$G(j\omega) = -\frac{1}{G_N(A)}$$



Stabilný systém
(oscilácie nevzniknú)



Stabilné
autooscilácie



Stabilné aj nestabilné
autooscilácie

9

Princíp metódy harmonickej rovnováhy

Opakovanie kreslenia frekvenčných charakteristík v komplexnej rovine (Nyquistove charakteristiky)

Niekoľko poznámok k metóde harmonickej rovnováhy:

- Pri symetrickej jednoznačnej nelinearite ($G_N(A)$ je reálna funkcia, teda graf $-1/G_N(A)$ leží na zápornej reálnej polosi) je podmienkou vzniku ustálených kmitov najmenej **tretí rád** lineárneho dynamického systému $G(s)$ alebo dopravné oneskorenie (frekvenčná charakteristika $G(j\omega)$ musí pretínať zápornú reálnu polosť).
- Pri nejednoznačnej nelinearite (hysteréza) môžu vzniknúť autooscilácie aj pri nižšom ráde prenosovej funkcie ako 3.
- Lepšie výsledky dostaneme pre sústavy vyššieho rádu (lepšie filtračné vlastnosti) – analýza sa viac blíži k realite.

10

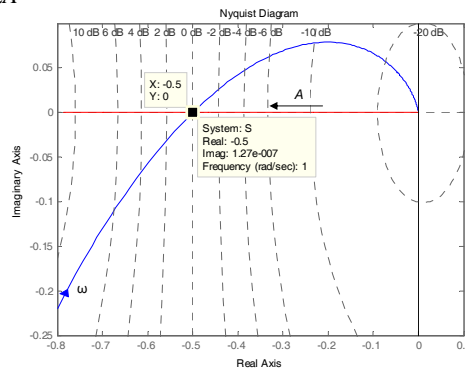
Príklad č.1

- Pri sériovom zapojení **relé** a **systému 3. rádu** vyšetrite amplitúdu A a frekvenciu ω oscilácií 1. harmonickej.
- Lineárna prenosová funkcia** $G(s) = \frac{1}{s(s+1)^2}$
- Relé** ($M=10$) $G_N(A) = \frac{4M}{\pi A}$

- Riešenie:
 $A=6.366$
 $\omega=1 \text{ rads}^{-1}$

$$\operatorname{Re}\left\{-\frac{1}{G_N(A)}\right\} = -\frac{\pi A}{4M} = -0,5$$

$$A = \frac{2M}{\pi} = 6.366$$

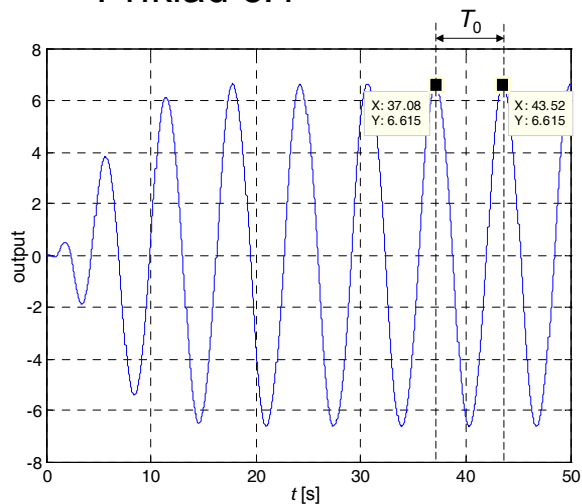


11

Príklad č.1

Vypočítané hodnoty
 $A = 6.366$
 $\omega = 1 \text{ rads}^{-1}$
 $T_0 = 6.283 \text{ s}$

Modelované hodnoty
 $A = 6.615$
 $\omega = 0.976 \text{ rads}^{-1}$
 $T_0 = 6.44 \text{ s}$



12

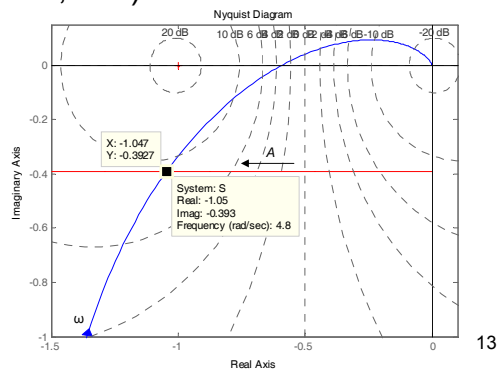
Príklad č.2

- Pri sériovom zapojení **relé s hysterézou** a **systému 3. rádu** vyšetrite amplitúdu A a frekvenciu ω oscilácií 1. harmonickej.
- **Lineárna prenosová funkcia** $G(s) = \frac{10}{(s+1)(0.25s+1)(0.125s+1)}$
- **Relé s hysterézou** ($M=10$, $d=5$)

$$G_N(A) = \frac{a_1 + jb_1}{A}$$

$$a_1 = \frac{4M}{\pi} \sqrt{1 - \frac{d^2}{A^2}} \quad b_1 = -\frac{4M}{\pi} \frac{d}{A}$$

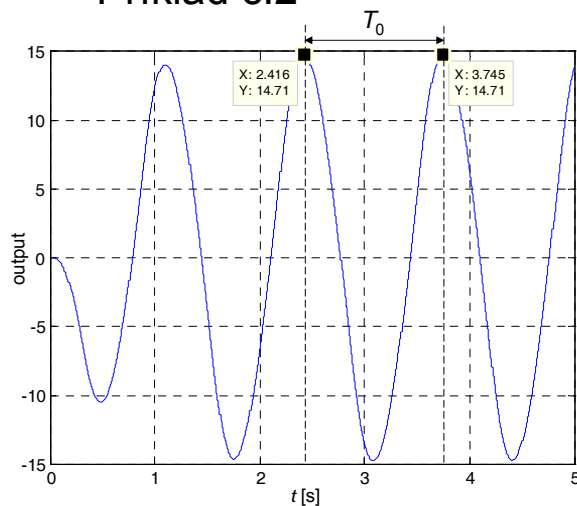
- **Riešenie:**
 $A=14.16$
 $\omega=4.8 \text{ rads}^{-1}$



Príklad č.2

Vypočítané hodnoty
 $A = 14.16$
 $\omega = 4.8 \text{ rads}^{-1}$
 $T_0 = 1.309 \text{ s}$

Modelované hodnoty
 $A = 14.71$
 $\omega = 4.728 \text{ rads}^{-1}$
 $T_0 = 1.329 \text{ s}$



Príklad č.3

- **Relé s hystereziou** je sériovo zapojené s lineárnym dynamickým systémom **2. rádu**. Aké má byť zosilnenie K a časová konštanta T systému, ak požadujeme na výstupe systému oscilácie 1. harmonickej s amplitúdou $A = 10$ a frekvenciou $\omega = 5 \text{ rads}^{-1}$? (perióda oscilácií je $T_0 = 2\pi/\omega = 1.257 \text{ s}$)
- **Lineárna prenosová funkcia** $G(s) = \frac{K}{s(Ts + 1)}$
- **Relé s hystereziou** ($M=10$, $d=5$)

$$G_N(A) = \frac{a_1 + jb_1}{A}$$

$$a_1 = \frac{4M}{\pi} \sqrt{1 - \frac{d^2}{A^2}} \quad b_1 = -\frac{4M}{\pi} \frac{d}{A}$$

15

Príklad č.3

- **Riešenie - postup:**

$$\operatorname{Re}\{G(j\omega)\} = -\frac{KT}{T^2\omega^2 + 1} \quad \operatorname{Re}\left\{-\frac{1}{G_N(A)}\right\} = -A \frac{a_1}{a_1^2 + b_1^2} = -\frac{\pi}{4M} \sqrt{A^2 - d^2}$$

$$\operatorname{Im}\{G(j\omega)\} = -\frac{K}{\omega(T^2\omega^2 + 1)} \quad \operatorname{Im}\left\{-\frac{1}{G_N(A)}\right\} = A \frac{b_1}{a_1^2 + b_1^2} = -\frac{\pi d}{4M}$$

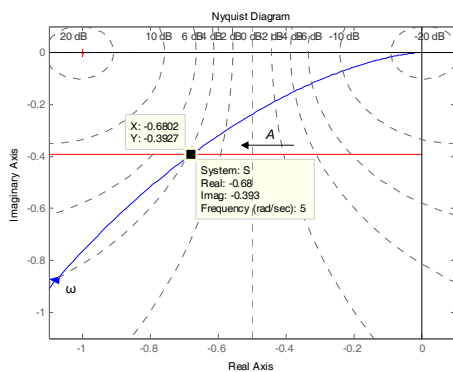
$$T = \frac{1}{\omega} \sqrt{\frac{A^2}{d^2} - 1} \quad \Rightarrow \quad T^2\omega^2 + 1 = \frac{A^2}{d^2} \quad \begin{matrix} \uparrow \\ \operatorname{Im}\{G_N(A)\} = -0.3926 \end{matrix}$$

$$K = \frac{\pi A^2}{4Md} \omega$$

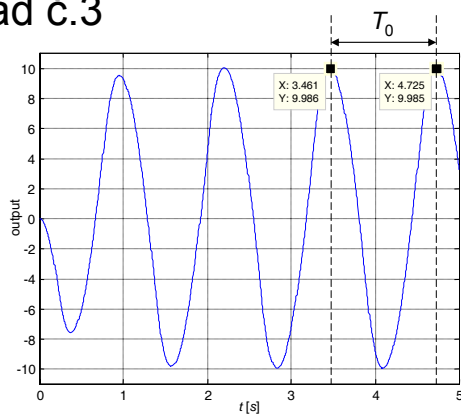
- **Riešenie:** $K = 7.854$
 $T = 0.3464 \text{ s}$

16

Příklad č.3



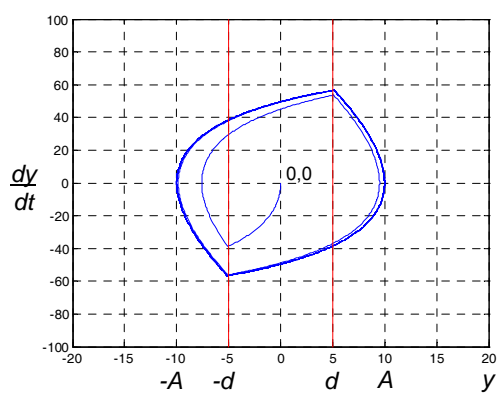
Požadované hodnoty
 $A = 10$
 $\omega = 5 \text{ rads}^{-1}$
 $T_0 = 1.257 \text{ s}$



Modelované hodnoty
 $A = 9.986$
 $\omega = 4.97 \text{ rads}^{-1}$
 $T_0 = 1.264 \text{ s}$

17

Příklad č.3

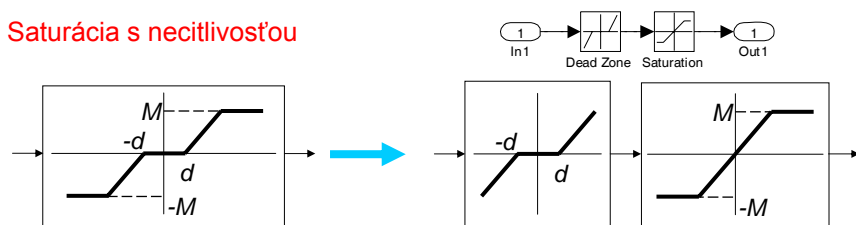


Fázový portrét

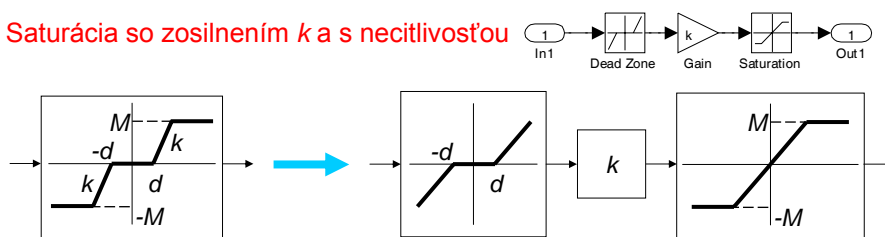
18

Skladanie (kompozícia) nelinearít

Saturácia s necitlivosťou



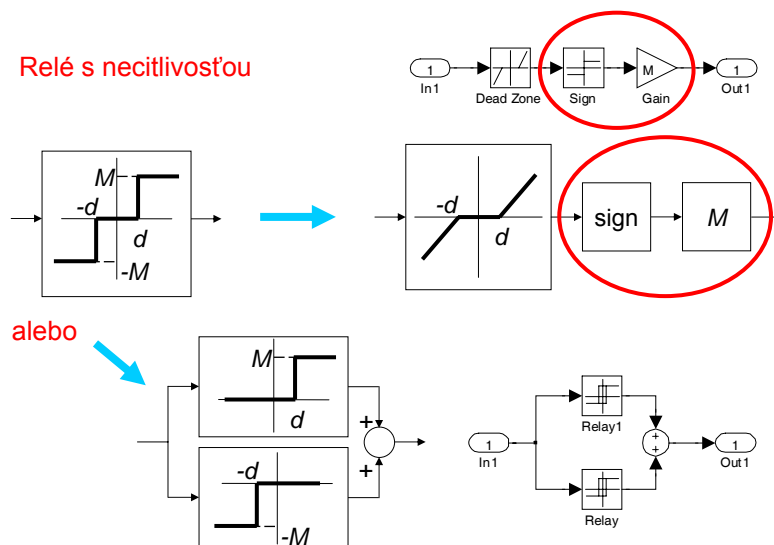
Saturácia so zosilnením k a s necitlivosťou



19

Skladanie (kompozícia) nelinearít

Relé s necitlivosťou



20

Skladanie (kompozícia) nelinearít

Relé s necitlivosťou a hysterezou

